

京都大学工学部 正員 住友 恒  
 京都市下水道局 〇弘元晋市  
 京都大学工学部 学員 松尾直規

## §1. はじめに

本研究は、水質物質の掃流による流出量を定量化することを主目的とする。昨年度、標題に因し、炭酸カルシウム(沈降性)をモデル物質として選定し、定性的にではあるが種々の特性を指摘した。<sup>1)</sup> 本年度は、ひきつづき、上述のごとく、炭酸カルシウムの掃流流出量を定量化することを目的としたが、その定量化に当っては予期以上の困難な問題点に直面した。結論的にはこの種の定量化に当っては水質物質の物性、流体の挙動が結果にきわめて鋭敏な影響を及ぼすことが明らかになった。したがって、以下、結果のみならず測定方法についても若干の提言を試みる。

## §2. 管内開水路における水理特性と水質物質の物性について

実験方法はまず、炭酸カルシウムを水道水で湿润状態にした後、内径約6cm、長さ150cmのガラス管に流しこみ、しかる後、温風にて乾燥固定させる。しかる後、上流端より水流を与えて掃流される物質量を測定してゆく方式である。本研究でいう定量化とは次式の  $a$ 、 $b$ (いすれも定数)を定量化してゆくことであるが、その際、掃流力の大きさもさることながら、掃流作用をうける物質面の性状、大きさを十分正確に定量しておく必要があることが明らかになった。

$$\theta = a \cdot T^b \quad (1)$$

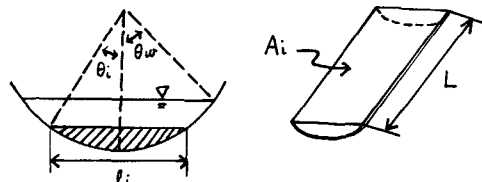
したがって、実験にともなう諸元を図-1における  $\theta_i$  の関数としてつぎのように厳密に把握しておく必要があることを指摘しておく。

図-1

## 2-1. 乾燥後の物質の平均含水率

熱風によって炭酸カルシウムを乾燥する場合について。

熱風によって炭酸カルシウムを乾燥しているが、 $x$  の際の恒率乾燥速度  $R$  は



$$R = -\frac{W}{A} \frac{dW}{dt} = h(T - T_w)/\gamma_w \quad (2)$$

ここに、 $W$ ；含水率、 $W$ ；無水重量、 $A$ ；乾燥面積、 $h$ ；伝熱係数、 $T_w$ ；湿球温度、 $\gamma_w$ ；蒸発潜熱

また、炭酸カルシウム層の任意位置での温度を

$$T = f(\operatorname{erf}(x/2\sqrt{Dt})) \quad (3)$$

と表現し、時間が十分大きいと、 $T = T_0$  で一定とみなせるので

$$x/2\sqrt{Dt} = k_0 = \text{const.} \quad (4)$$

(2)と(4)式より

$$-2k_0 \frac{W}{A} k_0^2 D \frac{1}{x} \frac{dW}{dx} = h(T_0 - T_w) \quad (5)$$

(5)式を積分すると

$$W_{x_2} = W_{x_1} - A_0/2 (x_2^2 - x_1^2) \quad (6)$$

$$\text{ここに、 } A_0 = h \cdot (T_0 - T_w) / 2k_0 \cdot \frac{W}{A} \cdot k_0^2 D$$

ここで、炭酸カルシウム層での温度が深さ方向に一定であるとすると、区間 $s_1$ ～ $s_2$ での平均含水率 $\bar{w}$ は

$$\bar{w} = \frac{(w_{s_1} + \frac{A_0 D^2}{8} \cos^2 \theta_i) \{ \theta_2 - \theta_1 - \frac{1}{2} (\sin 2\theta_2 - \sin 2\theta_1) - \frac{A_0 D^2}{32} \{ \theta_2 - \theta_1 - \frac{1}{4} (\sin 4\theta_2 - \sin 4\theta_1) \}}{\theta_2 - \theta_1 - \frac{1}{2} (\sin \theta_2 - \sin \theta_1)}$$

したがって、例えば、炭酸カルシウムの底での含水率 $w_b$ を仮定すれば、 $A_0$ が求まり炭酸カルシウム層での含水率の分布が決まる。

## 2-2. 物質表面積とそれに働くせん断応力について

内角 $\theta_i$ における掃流力 $T_i$ と物質の表面積 $A_i$ は

$$T_i = \rho g \frac{D}{2} (\cos \theta_i - \cos \theta_w) \quad (7)$$

$$A_i = \ell_i L = D L \sin \theta_i \quad (8)$$

### §3. 実験方法について

すでに式(7), (8)からもわかるように、実験開始後、初期物質量は掃流作用によって徐々に物質量を失ない、内角 $\theta_i$ は時々刻々変化し、厳密には炭酸カルシウムの物性としての含水率、その表面積、さらにはそれに働くせん断応力を刻々変化する。この種の変化を無視しないことが明らかになっているので、式(1)の $\alpha$ などの定量化は単位微少時間毎に定量化する方式をとった。したがって、式(1)から次式を用いる。

$$\int_{t_i}^{t_{i+1}} Q \cdot C dt = a \cdot \bar{A}_i \cdot \bar{T}_i^b \quad (9)$$

ここで、上つきバー記号はそれぞれたとて $t_i$ における平均値を表す。したがって、 $a$ は次式によつて算定する。

$$a_i = \frac{\int_{t_i}^{t_{i+1}} Q \cdot C dt}{\frac{\rho g I L D^2}{4} (\sin \theta_i + \sin \theta_{i+1}) \left( \frac{\cos \theta_i + \cos \theta_{i+1}}{2} - \cos \theta_w \right)}, \quad (b=1 のとき) \quad (10)$$

当然、このときの含水率は式(6)と対応させる。

### §4. 実験結果について

式(10)にしたがい時々刻々の $a_i$ を求めた一例が図-2である。これらの分析から定量的に得られた結果を例示したのが、図-3、図-4である。特に図-3では、統計的に、実験開始前の初期含水率と図-2に示す $a_i$ の時間的な平均値と対応させたもので、式(9)、あるいは式(10)の $a_i$ は含水率（あるいは物性）によって変化するものであることが示唆される。

ところで、数多くの図-3に示すような $a_i$ の結果を含水率ごとにまとめてプロットしたのが図-4であり、本研究としての初期の目的を達成したことがわかる。

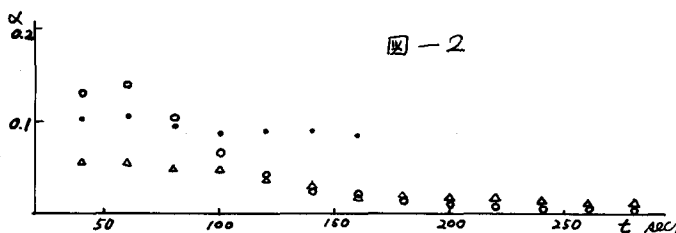


図-2

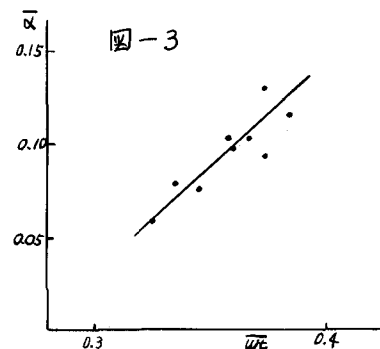
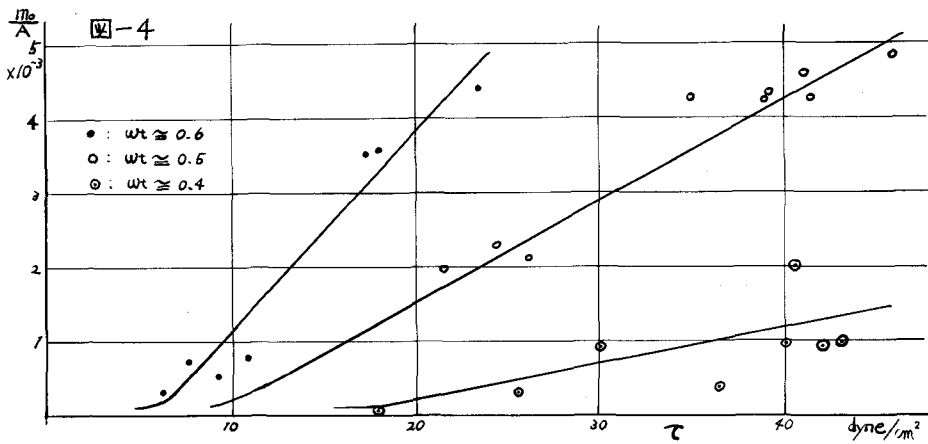


図-3



### §5. おわりに

図-4に示した最終結果には示していないが、含水率が高く(約60%以上)勾配が大きい場合( $I > 0.03$ )などは、必ずしも図中の直線的関係を示さず、不規則な挙動を示した。この種の問題の原因探究、さらには、実験対象の拡大(たとえば、水質物質が完全浸潤の場合)など、今後、さらに究明しなければならない問題を多く残してはいるが、以上、第一段階の結果として報告しておく。

なお、本研究に当、ては、末石富太郎教授の指導をうけた。

さらに、本研究は昭和47年度、文部省試験研究705098の結果の一一部である。ここに謝意を表わす。

参考文献：末石、住友、弘元、大久保

“水質物質の掃流に関する実験研究”

昭和47年度、土木学会年次講演会